

ИССЛЕДОВАНИЕ КВАЗИИЗЭНТРОПИЧЕСКОЙ СЖИМАЕМОСТИ ДЕЙТЕРИЯ И ГЕЛИЯ ПРИ ДАВЛЕНИЯХ 1500–5000 ГПа

M. A. Мочалов^{a}, Р. И. Илькаев^a, В. Е. Фортов^b, А. Л. Михайлов^a, В. А. Раевский^a,
В. А. Огородников^a, А. А. Юхимчук^a, А. И. Давыдов^a, Н. Н. Анашкин^a, В. А. Аринин^a,
А. О. Бликов^a, А. Ю. Баурин^a, Н. Б. Давыдов^a, В. А. Комраков^a, А. И. Логвинов^a,
С. Ф. Маначкин^a, А. В. Рыжков^a, Б. И. Ткаченко^a, А. В. Федоров^a, С. А. Финюшин^a,
Д. А. Калашников^a, Е. А. Чудаков^a, Е. А. Пронин^a, Е. А. Бакулина^a*

^a*РФЯЦ-ВНИИЭФ
607188, Саров, Нижегородская обл., Россия*

^b*Объединенный институт высоких температур Российской академии наук
125412, Москва, Россия*

Поступила в редакцию 30 октября 2013 г.

Приведены результаты измерения квазиизэнтропической сжимаемости плазмы дейтерия и гелия в области давлений 1500–5000 ГПа и плотностей до 8 г/см³ с использованием экспериментальных устройств сферической геометрии и рентгенографического комплекса, состоящего из трех бетатронов и многоканальной оптико-электронной системы регистрации рентгеновских изображений. Результаты наших исследований показывают возможности экспериментальной физики высоких плотностей энергии в воспроизведении экстремальных состояний вещества, типичных для Вселенной, в лабораторных условиях с использованием энергии традиционных конденсированных взрывчатых веществ.

DOI: 10.7868/S0044451014070189

1. ВВЕДЕНИЕ

Газообразные водород и гелий, а также их плазма, при высоких давлениях и температурах являются основным состоянием вещества в перспективных энергетических установках и в ряде астрофизических объектов [1–3]. Вот почему исследование физических свойств сильноожатых и нагретых водорода и гелия существенно расширяет наши знания о материи, структуре и эволюции звезд и планет-гигантов. В звездах, где плазма полностью ионизована и почти идеальна, ее физическое описание не встречает особых трудностей. Однако исследования Юпитера, Сатурна, коричневых карликов и т. д. требуют информации о поведении сильнонеидеальной (когда отношение энергии кулоновского взаимодействия заряженных частиц к их кинетической энергии намного больше единицы) и частично вырожденной водородной и гелиевой плазмы. Создание новых спосо-

бов генерации и диагностики состояния плазмы водорода и гелия в мегабарной области давлений дает чрезвычайно важную информацию для описания их свойств.

Квазиизэнтропическая сжимаемость газообразного водорода в области давлений до 1200 ГПа впервые исследована в устройствах сферической геометрии в конце прошлого века [4–6]. В области давлений до 500 ГПа квазиизэнтропическая сжимаемость газообразного дейтерия и гелия измерена в двухкаскадных устройствах цилиндрической геометрии с использованием энергии традиционных твердых взрывчатых веществ (ВВ) [7, 8] и магнитокумулятивных генераторов МК-1 [9, 10]. В последние три года во ВНИИЭФ проведены эксперименты, в которых измерена сжимаемость газообразных дейтерия и гелия до чрезвычайно высоких плотностей 4–8 г/см³ [11–13] с использованием двухкаскадных устройств сферической геометрии и рентгенографического комплекса, позволяющего в одном эксперименте регистрировать до девяти фаз сжатия.

*E-mail: postmaster@ifv.vniief.ru

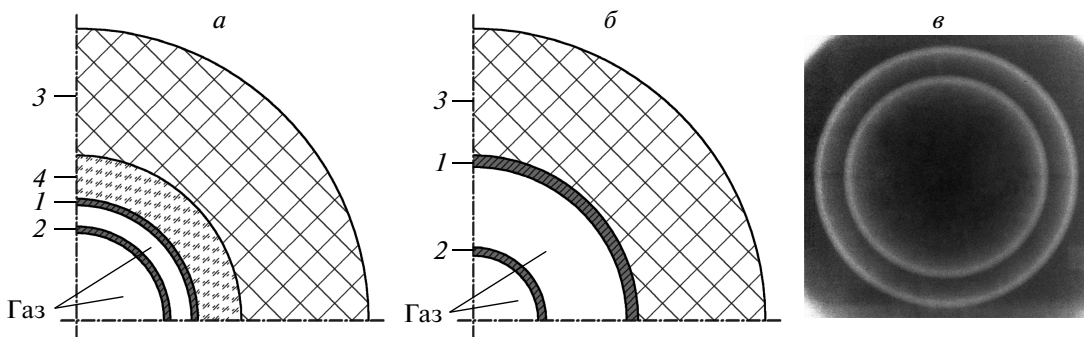


Рис. 1. Схематическая конструкция (1/4 часть) экспериментальных устройств: *а* — устройство № 1; *б* — устройства № 2 и № 3; *в* — рентгеновское изображение оболочек в устройстве № 1

В настоящей работе приведены результаты новых экспериментов, в которых измерена квазизэнтропическая сжимаемостьдейтерия и гелия в области давлений порядка 2000 ГПа. С использованием устройства, описанного в работе [13], диапазон измерения квазизэнтропической сжимаемости газообразногодейтерия расширен до 5000 ГПа. Кроме того, применение методов современной лазерной интерферометрии [14] в специально проведенных опытах позволило детально выяснить динамику движения сферических оболочек в разработанных экспериментальных устройствах.

Плотность сжатых газов измерена рентгенографическим методом по положению границ оболочек экспериментальных сферических нагружающих устройств, а также получена, наряду со значениями давлений и температур, из газодинамических расчетов. Для регистрации положения границ оболочки, сжимающей исследуемое вещество, в устройствах использован рентгенографический комплекс РФЯЦ-ВНИИЭФ, состоящий из трех безжелезных импульсных бетатронов [15].

Проведен анализ полученных результатов с использованием одномерных и двумерных газодинамических расчетов. Сделан вывод о степени применимости использованных уравнений состояниядейтерия и гелия для описания их сжимаемости в области давлений 1500–5000 ГПа.

2. ЭКСПЕРИМЕНТАЛЬНОЕ УСТРОЙСТВО. СХЕМА ЭКСПЕРИМЕНТА

В экспериментах по измерению квазизэнтропической сжимаемости газообразныхдейтерия и гелия авторы использовали экспериментальные сферические устройства, схематически приведенные на рис. 1.

Устройство № 1 (рис. 1*а*) использовали ранее при исследовании сжимаемостидейтерия и гелия в области давлений $P \approx 2000$ ГПа [12]. Внешняя прочная оболочка 1 устройства рассчитана на начальное давление газа до 30 МПа. Сжатие газа во внутренней полости оболочки 2 в такой конструкции происходит через слой того же газа, и эта полость защищена от прямого воздействия ВВ 3 на материал оболочки, что практически исключает выброс частиц металла в полость, где измеряется средняя плотность сжатой плазмы [16]. Промежуток между ВВ и оболочкой 1 заполнен прокладкой из плексигласа 4, которая к тому же слаживает возмущения от системы инициирования ВВ. Рентгеновское изображение экспериментального устройства № 1 в исходном состоянии приведено на рис. 1*в*.

В устройстве № 2 (рис. 1*б*) плексигласовая прокладка исключена. Это позволило увеличить диаметр внешней оболочки устройства, повысить уровень отбора энергии от ВВ оболочкой первого каскада и достичь давления $P \approx 5000$ ГПа в сжатой плазме гелия [13] идейтерия (в настоящей работе).

В новых экспериментах сдейтерием и гелием в области давлений $P \approx 2000$ ГПа в настоящей работе использовано устройство № 3 (рис. 1*б*), отличающееся от устройства № 2 большим диаметром оболочки 2 второго каскада и ее материалом (титан ВТ-14).

Характеристики экспериментальных устройств, использованных в работах [12, 13] и в настоящей работе, приведены в табл. 1. В нее включены также параметры однокаскадного сферического экспериментального устройства (№ 4) из работы [11]. Для разгона оболочек и сжатия газа во всех экспериментах использован блок ВВ массой около 55 кг в тротиловом эквиваленте.

Таблица 1. Характеристики экспериментальных устройств из работ [11–13] и настоящей работы

№ устройств	Газ	Материал оболочек*		Диаметр оболочек/ толщина, мм		Начальные параметры газа		Прокладка
		Каскад I	Каскад II	Каскад I	Каскад II	P_0 , атм	T_0 , °C	
1 [12]	D ₂	ЭИ712	ЭИ712	150/4	116/4	128	19.1	Плексиглас
1 [12]	He	ЭИ712	ЭИ712	150/4	116/4	167	27.2	Плексиглас
2 [13]	He	30ХГСА	30ХГСА	203.2/7	90/5	270	29.4	Нет
2	D ₂	30ХГСА	30ХГСА	203.2/7	90/5	264	29.0	Нет
3	D ₂	ЭИ659	ВТ-14	202/8	109/6	250	4.0	Нет
3	He	ЭИ659	ВТ-14	202/8	109/6	250	-5.0	Нет
4 [11]	D ₂	ЭИ659	Нет	113/5.5	Нет	267	10.5	Полиэтилен

Примечание. *В устройствах №№ 1, 2, 4, а также в первом каскаде устройства № 3 оболочки изготовлены из инструментальных сталей; оболочка второго каскада в устройстве № 3 изготовлена из титана.

Для заполнения экспериментальных камер дейтерием использована система напуска, основу которой составлял термодесорбционный источник [17]. Изотопная чистота газообразного дейтерия в эксперименте, измеренная с помощью хроматографической установки «Цвет-800», составила примерно 98.9 % (остальное — протий). Для заполнения камеры гелием применен термокомпрессор, позволяющий заполнять газом чистотой 99.99 % объемы около 2 л до давлений 50 МПа (500 атм).

Первоначально исследуемый газ в таких устройствах сжимается проходящей ударной волной (УВ). При ее многократных отражениях от центра симметрии устройства и сходящейся (обжимающей) оболочки во внутренней полости с газом формируется серия УВ, которые сжимают и нагревают его. Движение оболочки к центру происходит до тех пор, пока возрастающее давление внутри исследуемой плазмы ее не остановит. В этот момент достигается максимальное сжатие при существенном снижении доли теплового давления и более длительном удержании вещества при высоком давлении по сравнению с воздействием однократной УВ. При таком способе нагружения реализуются состояния вещества на изэнтропах, положение которых зависит от массы ВВ и геометрии экспериментальных устройств, т. е. от параметров, которые можно менять в широком диапазоне.

Схема эксперимента на рентгенографическом комплексе РФЯЦ-ВНИИЭФ, использованная в экспериментах [11–13] и в настоящей работе, приведе-

на на рис. 2. Теневое изображение границ внутренней оболочки, сжимающей исследуемый газ, получено при одновременном использовании тормозного излучения трех мощных бетатронов 1 с граничной энергией электронов 60 МэВ [15], расположенных под углами 45° друг к другу в защитном бетонном сооружении 2. Особенностью рентгенографического комплекса является возможность каждого излучателя работать в трехимпульсном режиме, что позволяет за один эксперимент регистрировать до девяти фаз движения оболочки и таким образом проследить за всей динамикой процесса сферического сжатия плазмы. Это улучшает воспроизводимость опытов по сравнению с использованием однокадровой системы регистрации [4–6]. При исследовании движения оболочки для каждого бетатрона используется индивидуальная оптико-электронная система детектирования, имеющая квантовую эффективность около 40 % и динамический диапазон регистрации до 10³, которая активируется синхронно с импульсами бетатрона, что и позволяет получать три независимых рентгеновских изображения. В качестве гамма-конверторов в данной системе используются монокристаллы йодистого натрия, активированного таллием, NaI(Tl), диаметром 150 мм ($\lambda_{max} = 410$ нм, время высвечивания 250 нс) и силикат лютеция LSO диаметром 80 мм ($\lambda_{max} = 420$ нм, время высвечивания 50 нс) [15].

Для устранения влияния рассеянного излучения на высокочувствительные регистраторы 3 размер поля регистрации в каждой из трех проекций огра-

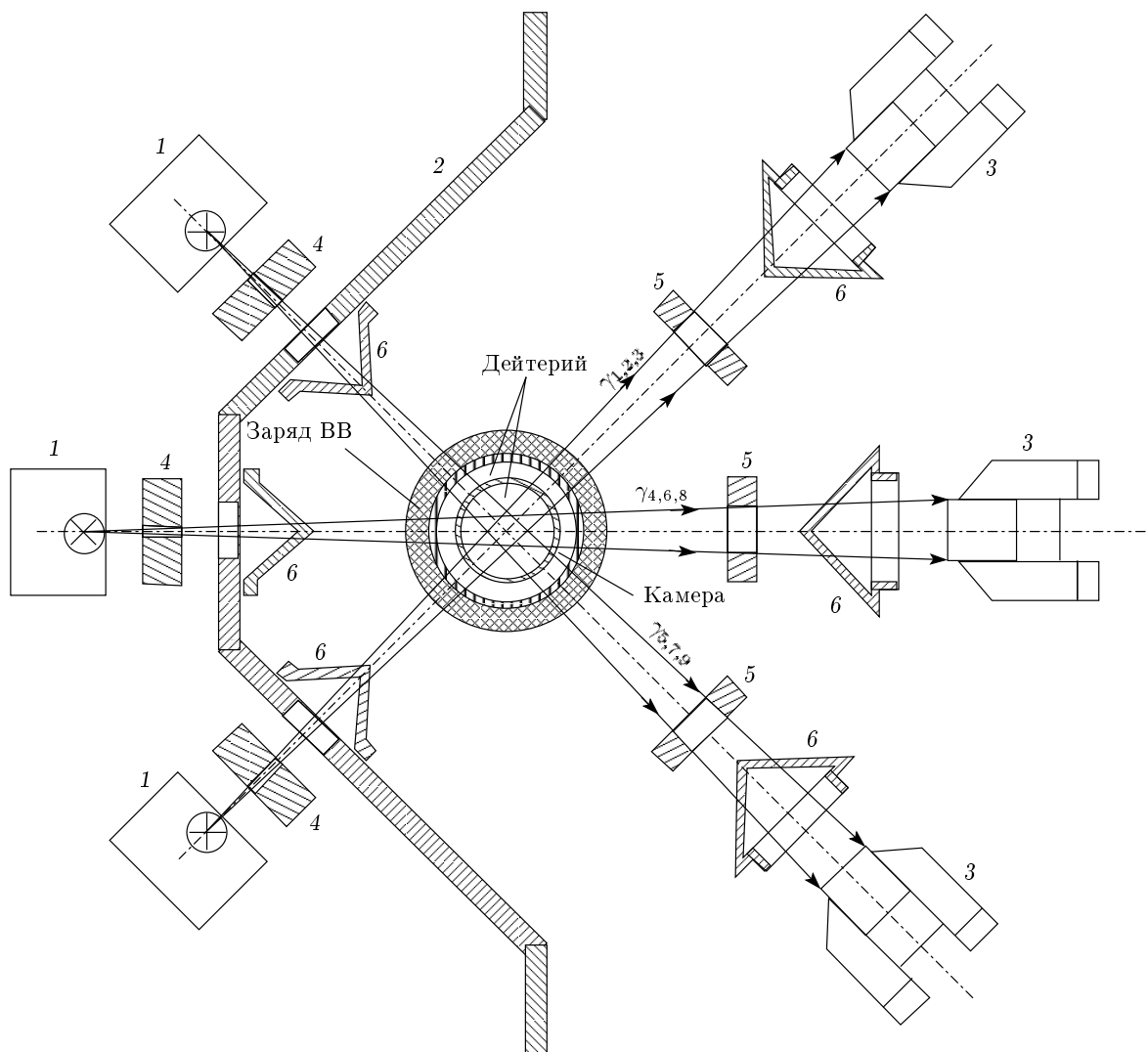


Рис. 2. Схема эксперимента на рентгенографическом комплексе ВНИИЭФ

ничивается свинцовыми коллиматорами 4 и 5. Для защиты бетатронов 1 и оптико-электронных регистраторов рентгеновского излучения 3 применены алюминиевые конусы 6.

Возможности использованного рентгеновского комплекса и двухкаскадного экспериментального устройства для регистрации сжимаемости гелия до плотности 8 г/см³ были ранее показаны в эксперименте [13].

3. ГАЗОДИНАМИЧЕСКАЯ ОТРАБОТКА ЭКСПЕРИМЕНТАЛЬНЫХ УСТРОЙСТВ

Детальное изучение $R(t)$ -диаграмм движения оболочек экспериментальных устройств на началь-

ном участке траектории, когда влиянием газа можно пренебречь, является важным обстоятельством для уточнения и тестирования численных расчетов, использованных для описания разработанных авторами экспериментальных устройств и правильного выбора размеров свинцовых коллиматоров, ограничивающих поле регистрации по объекту до 100 мм.

С этой целью в настоящей работе проведено дополнительное тестирование движения детонационной и ударной волн по элементам экспериментальных устройств №1 и №2, использованных ранее при исследовании квазизэнтропической сжимаемости дейтерия и гелия в работах [11–13]. Кроме того, одновременно были изучены динамика разгона и симметрия полета стальной оболочки первого кас-

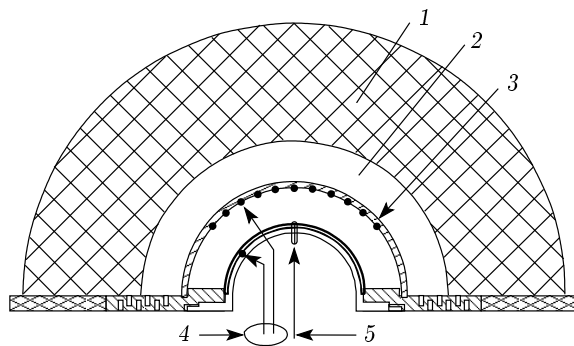


Рис. 3. Схема эксперимента по регистрации динамики движения стальной оболочки первого каскада экспериментального устройства №1: 1 — ВВ; 2 — плексиглас; 3 — оболочка; 4 — электроконтактные датчики; 5 — PDV-датчик

када экспериментальных устройств, а также определено ее состояние (наличие откола и последующего компактирования). Данная информация позволила уточнить характер диссипативных процессов при работе используемых экспериментальных устройств (в частности, роль вязкости и динамической прочности на сжатие и растяжение) и методику расчета процесса сжатия.

Схема эксперимента при тестировании устройства №1 приведена на рис. 3. Для регистрации параметров движения ударной и детонационной волн использована электроконтактная методика (более 200 датчиков). Динамика движения внешней сферической оболочки регистрировалась рентгенографической и гетеродин-интерферометрической (PDV [14]) методиками. Физический принцип работы гетеродин-интерферометра основан на эффекте доплеровского изменения длины волны зондирующего лазерного излучения, отраженного от исследуемой поверхности. Регистрация изменения длины волны отраженного излучения осуществляется с помощью широкополосных фотодетекторов и осциллографов.

На рис. 4 приведена рентгенограмма оболочки первого каскада на момент времени $t = 16.3$ мкс, а на рис. 5 — диаграмма скорости оболочки, зарегистрированная методикой PDV. Здесь и далее времена отсчитываются от начала инициирования ВВ.

Анализ результатов эксперимента показал, что разновременность выхода УВ на внутреннюю границу и подлета оболочки к экрану является незначительной ($\Delta t_{max} \approx 0.07$ мкс) и находится на пределе разрешающей способности электроконтактной методики. По результатам доплеровской и рентгенографической методик регистрации (см. рис. 4, 5)

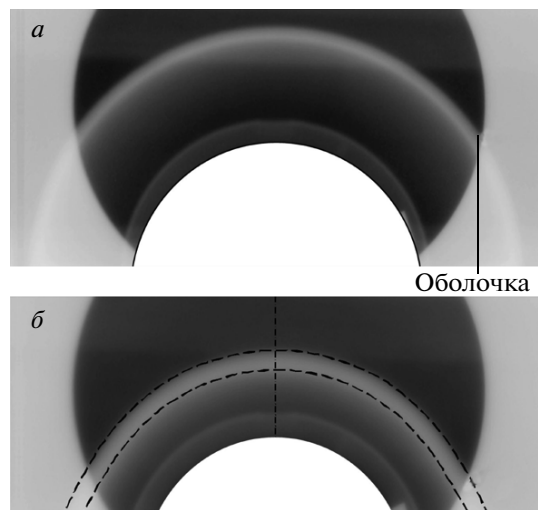


Рис. 4. Рентгенограмма полета исследуемой оболочки: *а* — исходное состояние; *б* — на момент времени $t = 16.3$ мкс (штриховые линии — границы оболочки)

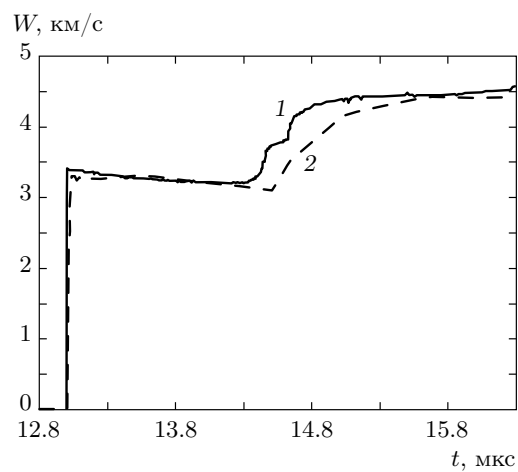


Рис. 5. Диаграмма скорости движения внутренней границы внешней оболочки в экспериментальном устройстве №1: кривая 1 — эксперимент; 2 — расчет

оболочка не имеет заметных возмущений и откольного разрушения. Как видно из рис. 5, результаты расчетов, выполненных по одномерной газодинамической программе [18], удовлетворительно согласуются с экспериментальными результатами, полученными с использованием методики PDV [14].

Результаты газодинамического тестирования экспериментального устройства №1 приведены на рис. 6 вместе с рассчитанными $R(t)$ -диаграммами

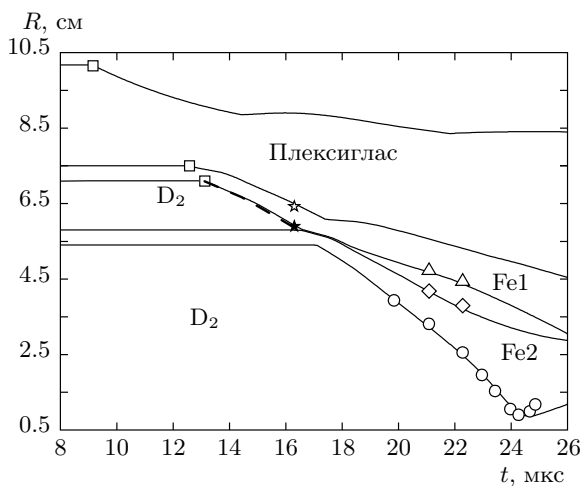


Рис. 6. $R(t)$ -диаграммы движения оболочек экспериментального устройства: \square — электроконтактные измерения движения УВ; штриховая линия — траектория движения внутренней границы внешней оболочки (Fe1) по данным лазерной PDV-методики; результаты рентгенографирования [12]: \triangle — внутренняя граница оболочки первого каскада (Fe1); \diamond — внешняя граница оболочки второго каскада (Fe2); \circ — внутренняя граница оболочки второго каскада (Fe2); \star и \star — соответственно наружная и внутренняя границы оболочки первого каскада (настоящая работа)

и данными рентгенографирования из работы [12]. Как видно из рис. 6, проведенные исследования подтвердили правильность методики расчета экспериментальных устройств, использованной при обработке данных из работы [12].

В аналогичной редакции опыта исследовано движение оболочки первого каскада и для устройства № 2. Результаты регистрации движения внешней оболочки экспериментального устройства PDV-датчиком и одномерного газодинамического расчета показаны на рис. 7. Как видно из рисунка, расчет по программе [18] качественно и количественно согласуется с экспериментальной зависимостью, полученной с использованием методики PDV [14]. Из зарегистрированных профилей $W(t)$ следует, что при выходе на границу свободной поверхности оболочки реализуется откольный слой металла, который в дальнейшем смыкается. Результаты эксперимента по зарегистрированному профилю скорости свободной поверхности, $W(t)$, позволили оценить величину откольной прочности использованной стали, которая составляет $\sigma_x \approx 3.6$ ГПа, что удовлетворительно согласуется с данными ра-

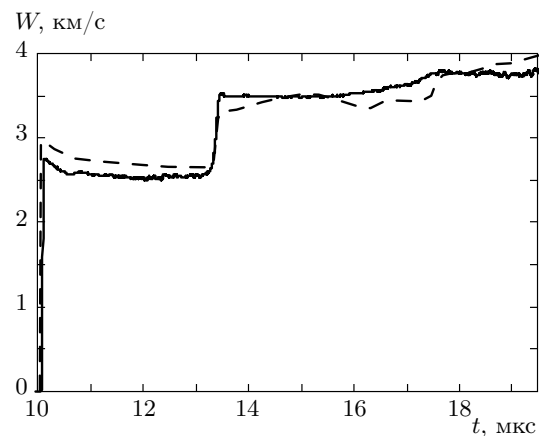


Рис. 7. Сравнение экспериментальной (сплошная линия) и теоретической (штриховая) зависимостей скорости движения оболочки внешнего каскада для экспериментального устройства № 2

боты [19] и подтверждает корректность выбранной методики учета процесса откольного разрушения в настоящей работе.

Результаты газодинамического эксперимента и их сравнение с результатами расчета приведены ниже.

4. КВАЗИИЗЭНТРОПИЧЕСКАЯ СЖИМАЕМОСТЬ ГАЗООБРАЗНОГО ДЕЙТЕРИЯ В ОБЛАСТИ ДАВЛЕНИЙ $P \approx 5000$ ГПа

Описанное выше экспериментальное устройство № 2 было использовано в двух опытах по измерению сжимаемости газообразногодейтерия при $P \approx 5000$ ГПа. Цель проведения двух опытов связана с необходимостью прецизионного определения момента максимального сжатиядейтерия (радиуса «остановки» оболочки). В каждом эксперименте для контроля начального состояниядейтерия (давление и температура) использовали тензометрический датчик давления и хромель-алюмелевые термопары. Специально разработанная конструкция термопары позволила разместить ее внутри экспериментальной камеры и, следовательно, напрямую измерить начальную температуру газообразногодейтерия.

Зависимости давления и температурыдейтерия в экспериментальной камере от времени напуска газа приведены на рис. 8. Как видно из рисунка, начальное давление газа в момент подрыва заряда ВВ составило $P_0 = 26.4$ МПа и $P_0 = 28.3$ МПа

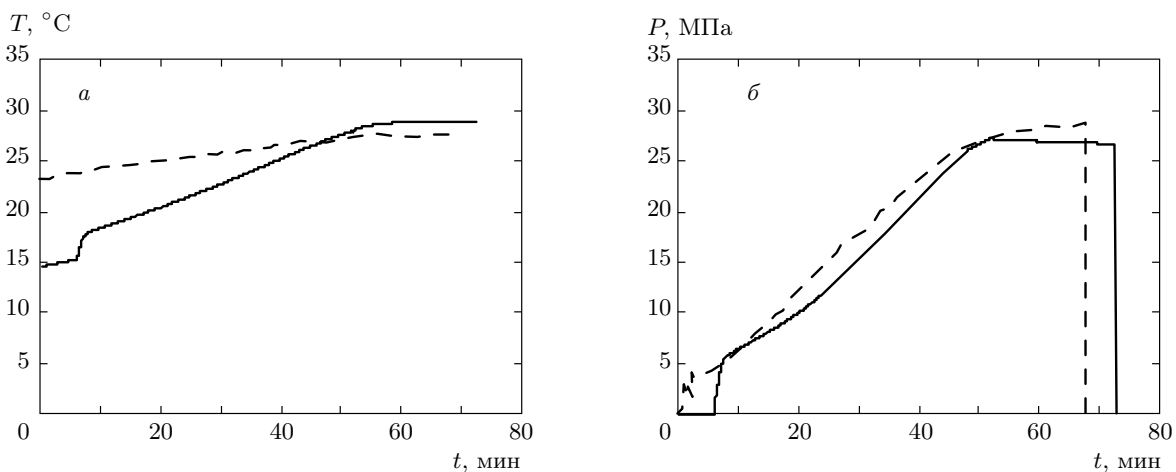


Рис. 8. Начальные параметры газообразного дейтерия в экспериментах с устройством № 2: *а* — температура газа в камере; *б* — давление в камере. Сплошные линии — опыт № 1, $T_0 = 28.9^\circ\text{C}$, $P_0 = 26.4 \text{ МПа}$; штриховые — опыт № 2, $T_0 = 27.8^\circ\text{C}$, $P_0 = 28.3 \text{ МПа}$

Таблица 2. Результаты обработки рентгенограмм при измерении квазизэнтропической сжимаемости газообразного дейтерия в опытах № 1 и № 2

Опыт № 1									
№ кадра	1	2	3	4	5	6	7	8	9
t , мкс	25.86	26.96	27.34	27.73	28.10	28.32	28.67	28.86	29.20
R , мм	31.01	22.38	18.80	15.68	11.73	9.37	7.61	8.00	9.48
δR , мм	0.10	0.16	0.14	0.20	0.20	0.27	0.63	0.61	1.51
Опыт № 2									
№ кадра	1	2	3	4	5	6	7	8	9
t , мкс	26.95	27.70	27.81	28.40	28.51	29.11	—	—	—
R , мм	23.42	16.39	15.07	8.08	7.71	10.55	—	—	—
δR , мм	0.56	0.44	0.20	0.46	0.28	1.15	—	—	—

соответственно при температурах $T_0 = 28.9^\circ\text{C}$ и $T_0 = 27.8^\circ\text{C}$.

Во всех выполненных экспериментах начальную плотность газообразного дейтерия поддерживали практически постоянной $\rho_0 \approx 0.04 \text{ г}/\text{см}^3$ путем корректировки начального давления при измеренной начальной температуре газа. Начальную плотность дейтерия оценивали с учетом данных работы [20]. Абсолютная погрешность измерения начального давления датчиком с классом точности 0.6 по эталонному манометру VIKA составляет 0.5 атм. При начальном давлении газа $P_0 \approx 25 \text{ МПа}$ (250 атм) относительная погрешность измерения давления

около 0.2 %. Абсолютная погрешность измерения начальной температуры для хромель-алюмелевой термопары по эталонной температурной системе «Julabo 90» в диапазоне температур $-30\dots+30^\circ\text{C}$ равна 0.3 К. При начальной температуре $T_0 = 300 \text{ K}$ относительная погрешность измерения температуры около 0.1 %. С учетом приведенных выше оценок в опытах № 1 и № 2 плотность газообразного дейтерия в исходном состоянии составила соответственно $\rho_0 = 0.036 \text{ г}/\text{см}^3$ и $\rho_0 = 0.038 \text{ г}/\text{см}^3$.

Рентгенограммы полостей оболочки со сжатым газом в различные моменты времени для опытов № 1 и № 2 показаны на рис. 9 и 10. В двух прове-

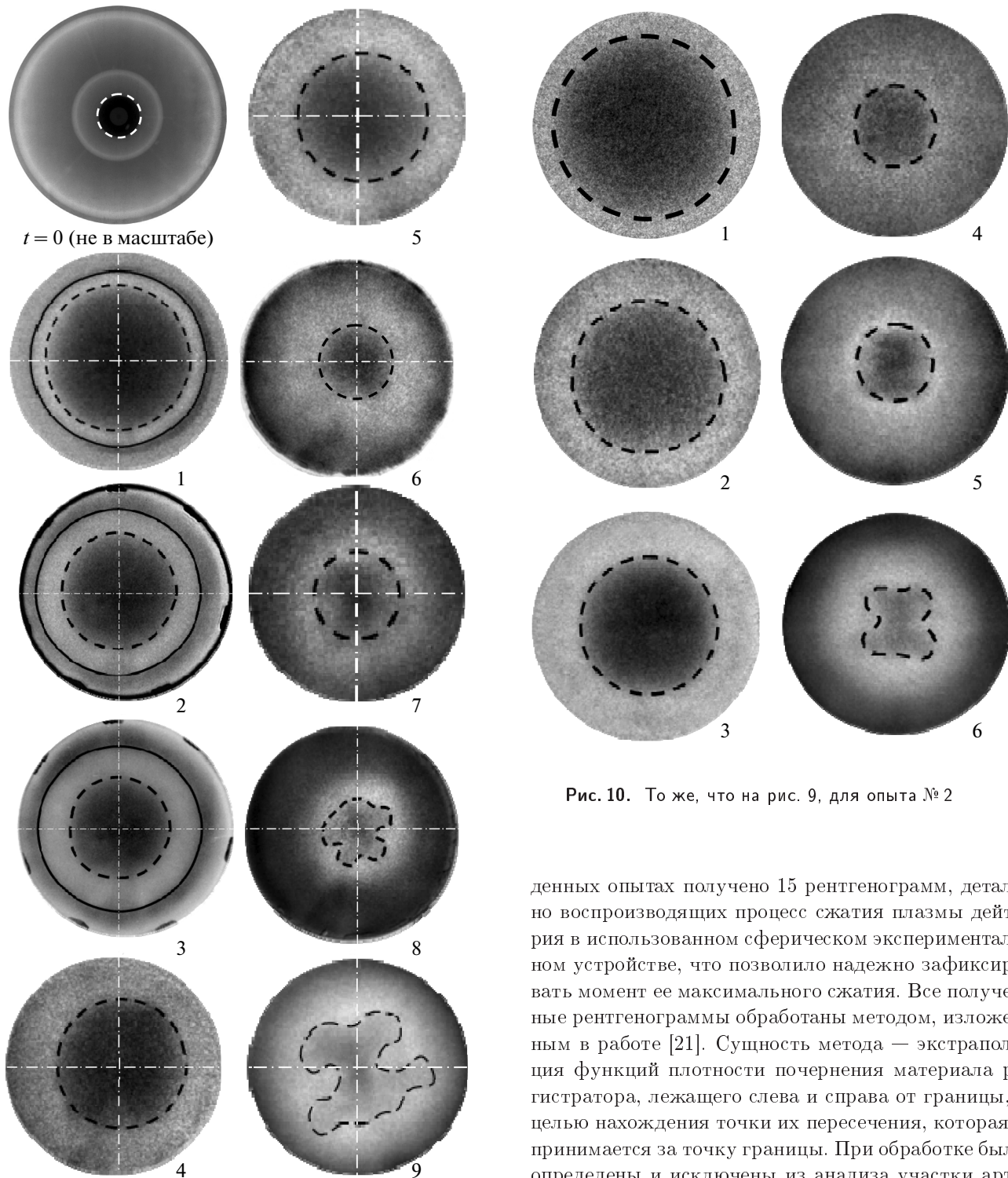


Рис. 9. Рентгенограммы сферической камеры со сжатымдейтерием в опыте № 1. На предварительном снимке ($t = 0$) показана область регистрации изображений оболочки при $t > 0$ (белые штрихи); штрихпунктир — оси симметрии газовой полости; черные штрихи и сплошные линии — эквивалентные радиусы соответственно газовой полости и внешней границы внутренней оболочки

денных опытах получено 15 рентгенограмм, детально воспроизводящих процесс сжатия плазмыдейтерия в использованном сферическом экспериментальном устройстве, что позволило надежно зафиксировать момент ее максимального сжатия. Все полученные рентгенограммы обработаны методом, изложенным в работе [21]. Сущность метода — экстраполяция функций плотности почертнения материала регистратора, лежащего слева и справа от границы, с целью нахождения точки их пересечения, которая и принимается за точку границы. При обработке были определены и исключены из анализа участки артефактов, имеющие аномально высокий контраст (дефекты, точки, царапины). По рентгеноснимкам объекта определяли его радиус в плоскости регистрации (на сцинтилляторе). Угол интегрирования при трассировке составил 30° , т. е. асимметрию δR газовой полости вычисляли по двенадцати независимым измерениям. Результаты обработки приведены

в табл. 2, из которой видно, что минимальный радиус сжатой полости с дейтерием $R_{min} = 7.610$ мм зарегистрирован в опыте № 1 (кадр 7); это соответствует степени сжатия плазмы $\sigma = \rho/\rho_0 = 145$. Кадры 8 и 9 в опыте № 1, а также кадр 6 в опыте № 2 соответствуют фазе разлета оболочки после достижения максимального сжатия. Как видно из рентгенограмм, полость оболочки в этом случае сильно искажена, что связано с возникновением гравитационной неустойчивости Рэлея–Тэйлора на границе раздела оболочки и сжимаемой среды [22, 23].

Относительная погрешность трассировки (определения) радиуса газовой полости изложенным методом [21] определена авторами на основании экспериментов со статическими макетами и составляет около 4 % для объектов радиусом примерно 10 мм. С учетом погрешностей трассировки газовой полости измерения начальной плотности газа и абсолютной погрешности (0.02 мм) измерения начального диаметра (90 мм) газовой полости относительная погрешность измерения плотности квазизэнтропически сжатой плазмы дейтерия в настоящей работе оценивается величиной $\Delta\rho/\rho \approx \pm 13\%$.

$R(t)$ -диаграмма процесса сжатия газообразного дейтерия, полученная по результатам обработки экспериментальных рентгенограмм (см. рис. 9, 10), приведена на рис. 11. Там же нанесены рассчитанные $R(t)$ -траектории, учитывающие результаты газодинамической отработки использованного экспериментального устройства № 2. Как видно из рис. 11, данные, полученные в результате проведенного газодинамического исследования динамики движения оболочки первого каскада, позволили откалибровать методику расчета экспериментального устройства, использованного для измерения в настоящей работе сжимаемостей дейтерия и гелия при давлении $P \approx 5000$ ГПа [13].

5. КВАЗИЗЕНТРОПИЧЕСКАЯ СЖИМАЕМОСТЬ ГАЗООБРАЗНЫХ ДЕЙТЕРИЯ И ГЕЛИЯ В ОБЛАСТИ ДАВЛЕНИЙ $P \approx 2000$ ГПА. НОВЫЕ ЭКСПЕРИМЕНТЫ

Для подтверждения полученных ранее [12] результатов в настоящей работе проведены дополнительные эксперименты по измерению сжимаемости плазмы дейтерия и гелия при $P \approx 2000$ ГПа с использованием устройства № 3 (см. табл. 1).

В результате экспериментов с новым устройством получены рентгенографические данные по сжатию плазмы, приведенные в табл. 3 и на рис. 12,

13 для дейтерия и гелия соответственно вместе с рассчитанными $R(t)$ -траекториями. На обоих рисунках также приведены результаты электроконтактных измерений начала движения наружной границы оболочки первого каскада.

6. ОБСУЖДЕНИЕ РЕЗУЛЬТАТОВ

На основании экспериментальных данных по динамике движения оболочек давление в сжатой плазме дейтерия и гелия определяли из газодинамического расчета с учетом реальных термодинамических и прочностных свойств элементов, составляющих экспериментальное устройство. Расчеты выполняли по одномерной газодинамической программе [18], предназначеннной для численного решения нестационарных газодинамических задач различной геометрии с учетом теплопроводности и упруго-пластических свойств среды, из которых получены $R(t)$ -диаграммы движения границ сферического устройства и распределения давления, плотности, температуры и массы счетных ячеек по радиусу газовой полости на момент максимального сжатия. Продукты взрыва ВВ на основе октогена описывали уравнением состояния из работы [24]. Движение оболочек из титана описано без учета сдвиговой и откольной прочности с использованием уравнения состояния в форме Ми–Грюнайзена с параметрами из работы [25].

При выборе уравнения состояния железа анализировались экспериментальные данные работ [25–28] и их описание различными моделями из работ [29–33] (рис. 14). В расчетах РФЯЦ-ВНИИЭФ широко используется однофазное уравнение состояния железа [29], которое хорошо описывает ударную адиабату, но сглаживает фазовый переход $\alpha-\varepsilon$ первого рода при $P \approx 13$ ГПа. Уравнения состояния железа из библиотеки SESAME [30] и работы [31], учитывающие фазовый переход, показаны на том же рисунке. Анализ результатов по измерению сжимаемости железа из работ [25–28] показывает, что описание экспериментальных данных по уравнению состояния из [29] выше фазового перехода и до давлений $P \approx 300$ ГПа практически не отличается от описания по уравнению состояния из [30]. Однако, как видно из рис. 14, наилучшее описание совокупности экспериментальных данных в области давлений до $P \approx 6000$ ГПа, имеет уравнение состояния железа из [29], уточненное в области высоких давлений по модели из [32]. Данная модель уравнения состояния железа и была использована

Таблица 3. Результаты трассировки газовой полости в новых экспериментах сдейтерием и гелием

D ₂	<i>t</i> , мкс	25.3	26.3	27.3	27.75	28.15	28.95	—	—	—
	<i>R</i> , мм	32.12	24.68	14.93	10.47	9.77	11.86	—	—	—
	δR , мм	0.34	0.39	0.38	0.36	0.53	0.43	—	—	—
He	<i>t</i> , мкс	25.29	26.28	27.05	27.32	27.54	27.54	27.76	28.00	28.77
	<i>R</i> , мм	31.56	23.67	15.75	13.63	11.65	11.75	11.09	10.34	13.10
	δR , мм	0.41	0.36	0.20	0.41	0.26	0.38	0.39	0.38	0.87

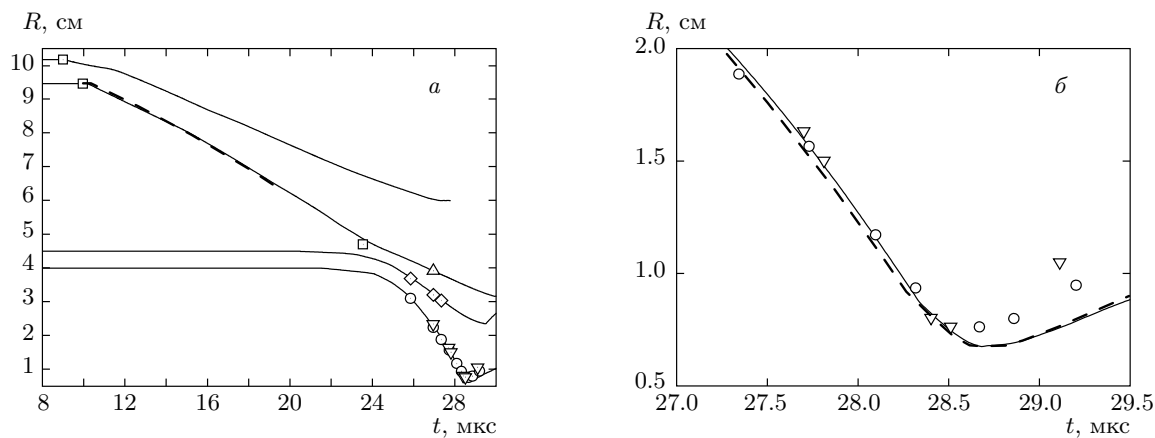


Рис. 11. а) $R(t)$ -диаграммы движения оболочек экспериментального устройства № 2: сплошные линии — рассчитанные траектории движения границ устройства; □ — электроконтактные измерения движения УВ; штриховая линия — зарегистрированная методом PDV траектория движения внутренней границы внешней оболочки (Fe1); результаты рентгенографирования: \triangle — внутренняя граница оболочки первого каскада (Fe1); \diamond — внешняя граница оболочки второго каскада (Fe2); внутренняя граница оболочки второго каскада (Fe2); о — опыт № 1; ∇ — опыт № 2; б) — $R(t)$ -диаграммы движения внутренней границы оболочки второго каскада (Fe2) в увеличенном масштабе, рассчитанные с уравнением состояния дейтерия в форме Копышева – Хрусталева (сплошная линия) и SESAME (штриховая)

в расчетах настоящей работы. Расчет с учетом фазового перехода в железе с уравнением состояния из [31] не привел к существенному изменению результатов. Упругопластические свойства стали для внешнего каскада не учитывали (использовали гидродинамическое приближение). Для внутренней оболочки влияние упругопластических свойств учитывали по модели динамического деформирования [34] со специально подобранными для стали коэффициентами. Разрушение стали для обеих оболочек описывали моделью хрупкого откола с параметром $\sigma_x = -4$ ГПа.

В расчетах для дейтерия использовали уравнение состояния из [35], калиброванное по экспериментальным данным [4–6], а также уравнение состояния из библиотеки [36]. Окончательный подбор параметров расчетной схемы проводили по результатам тестирования движения УВ по элементам экспери-

ментальных устройств и рентгенограмм начальной фазы процесса схождения сферической оболочки, когда влиянием исследуемого газа можно пренебречь. Для уточнения полученных результатов с целью учета двумерных факторов используемых сферических устройств проведены расчеты сжатия в программном комплексе ЛЭГАК-3Д [37].

6.1. Дейтерий

$R(t)$ -диаграмма процесса сжатия газообразного дейтерия, полученная по результатам обработки экспериментальных рентгенограмм (см. рис. 9, 10), приведена на рис. 11 вместе с результатами газодинамической отработки использованного экспериментального устройства. Начальное состояние газа в обоих опытах с устройством № 2 оказалось практически идентичным, поэтому результаты проведенных экс-

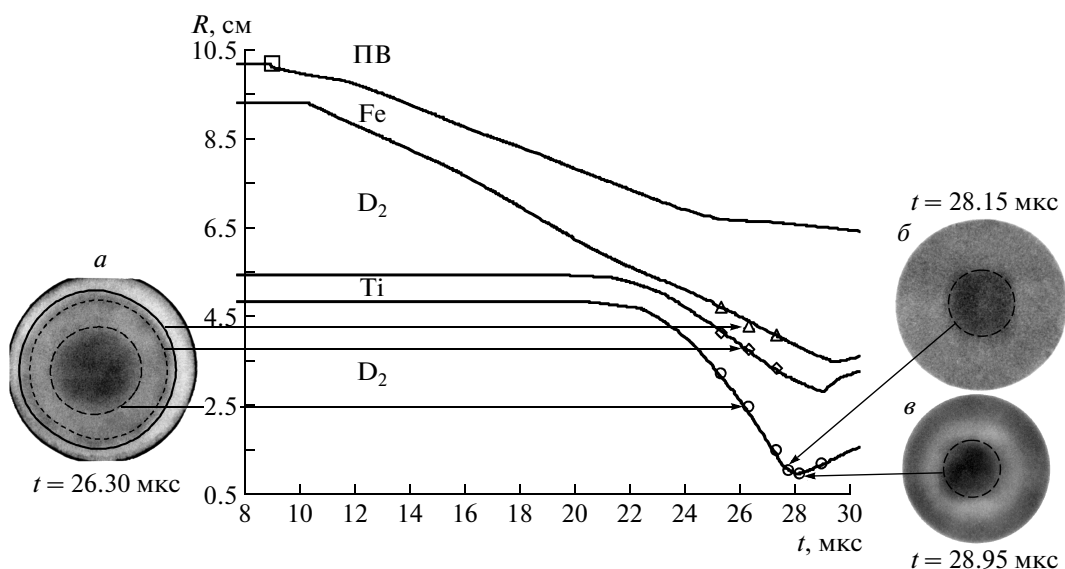


Рис. 12. $R(t)$ -диаграммы движения оболочек экспериментального устройства № 3 в опыте сдейтерием (ПВ — продукты взрыва). Времена отсчитываются от начала детонации заряда ВВ: □ — электроконтактные измерения движения УВ; результаты рентгенографирования: △ — внутренняя граница оболочки первого каскада (Fe); ◇ и ○ — соответственно внешняя и внутренняя границы оболочки второго каскада (Ti). Изображение б — момент максимального сжатия. Штрихами показаны границы оболочек, полученные в результате обработки рентгенограмм

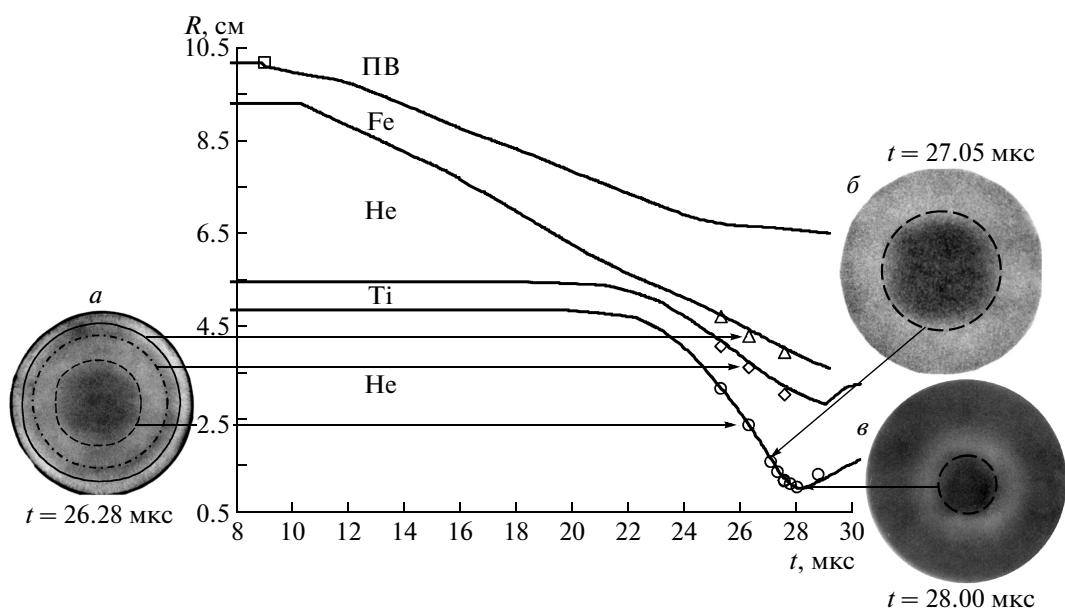


Рис. 13. То же, что на рис. 12, для гелия

периметров описаны одним газодинамическим расчетом.

В нашем подходе основным критерием истинности получаемого в расчете давления газа можно считать удовлетворительное описание всей $R(t)$ -тра-

ектории сжатия полости, причем расчетная модель должна описывать сжатие плазмы не только в области давлений, реализующихся во внутреннем каскаде оболочки (до 5000 ГПа), но и динамику сжатия во внешнем каскаде при более низких давлениях.

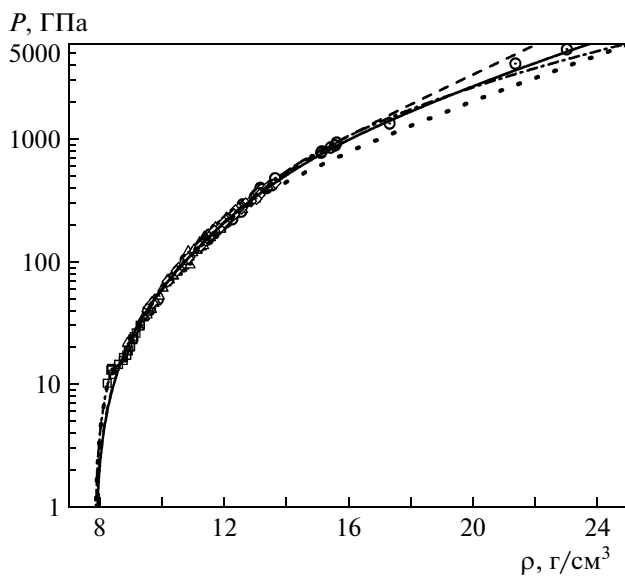


Рис. 14. Сравнение экспериментальных данных для стали с расчетами по различным уравнениям состояния. Эксперимент: \diamond — [25]; \square — [26]; \triangle — [27]; \circ — [28]. Расчет: штриховая кривая — [29]; пунктирная — [30]; штрихпунктирная — [31]; сплошная — [32]

Как видно из рис. 11а, выбранная модель расчета удовлетворяет указанным выше условиям в широком диапазоне сжатий. Однако при максимальном сжатии, как видно из рис. 11б, расчетная модель при использовании уравнения состояниядейтерия из [35], не описывает экспериментальных данных. В момент максимального сжатия это отклонение составляет 12.6 % по радиусу. Экспериментальное значение плотности сжатогодейтерия в этом эксперименте $\rho = 5.3 \pm 1.3 \text{ г}/\text{см}^3$ оказалось примерно на 30 % меньше вычисленного в одномерном приближении значения средневзвешенной плотностидейтерия $\rho_{mean} = 7.8 \text{ г}/\text{см}^3$. Нет согласия результатов экспериментов и с расчетной зависимостью при использовании уравнения состояниядейтерия из [36]. С учетом этого обстоятельства на рис. 15 приведены формальные распределения давления, плотности и температуры в сжатомдейтерии по радиусу полости, полученные из газодинамического расчета использованного устройства на момент максимального сжатия.

Учитывая сложный характер рассчитанных распределений, связанный с кумулятивным характером процесса сжатия, для оценки основных термодинамических параметров сжатой плазмы авторы использовали средневзвешенные значения давления

P_{mean} , температуры T_{mean} и плотности ρ_{mean} в плазмедейтерия в момент ее максимального сжатия, полученные усреднением по массе расчетных значений $P(R)$, $T(R)$ и $\rho(R)$. Такой метод расчетного определения давления, температуры и плотности учитывает распределение сжатой плазмы в полости устройства, основная масса которой сосредоточена вблизи оболочки и уменьшается к центру, что представляется наиболее оправданным в данной работе.

Ясно, что процесс сжатия газа в используемых устройствах носит сугубо трехмерный характер, связанный с влиянием систем инициирования ВВ, качеством изготовления стальных оболочек (их разнотолщинностью и отклонением от сферичности) и их центровкой при сборке всего устройства. Все эти факторы приводят, в конечном счете, к асимметричности оболочек, особенно при больших степенях сжатия. В качестве примера на рис. 16а показана рентгенограмма сжатой полости сдейтерием, зарегистрированная в устройстве № 2 в опыте № 1 на момент максимального сжатия газа, где показан реальный профиль полости оболочки по результатам функциональной обработки рентгенограммы и ее идеализированный профиль, по которому определен эквивалентный радиус сжатой полости. Наблюдаемая на экспериментальной рентгенограмме несферичность полости по нашим оценкам составляет $\pm 8.3 \%$.

В качестве дополнительного шага для уточнения полученных данных для устройства № 2 проведены двумерные расчеты сжатиядейтерия в комплексе ЛЭГАК-3Д [37]. Результат двумерного расчета, приведенный черными штрихами на рис. 16а, на момент максимального сжатия показывает практически полную качественную идентичность экспериментального и рассчитанного профилей сжатой полости с плазмойдейтерия. Анализ полученных данных показал, что учет двумерных факторов привел к увеличению средневзвешенного давления на 0.3 % и увеличению плотности на 0.7 % без существенного изменения температуры. Значение радиуса «остановки» практически не изменилось (0.67 см — одномерный расчет и 0.66 см — двумерный). По результатам расчета ЛЭГАК методом Монте-Карло проведено численное рентгенографическое моделирование устройства № 2 на момент максимального сжатиядейтерия (рис. 16б). В расчетах устройство «облучали» тормозным излучением со спектром, соответствующим бетатрону БИМ234.3000 [15]. Для получения расчетной рентгенограммы, позволяющей оценить влияние динамической нерезкости, тормозное излучение бетатрона выделялось за 100 нс с учетом экспериментально измеренной зависимости интенсивности из-

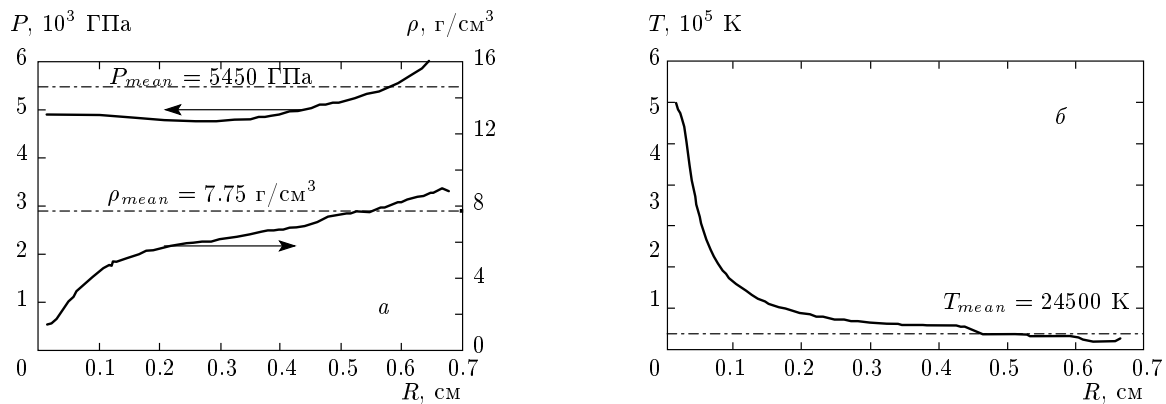


Рис. 15. Рассчитанные распределения давления, плотности (а) и температуры (б) сжатогодейтерия по радиусу полости R в устройстве № 2

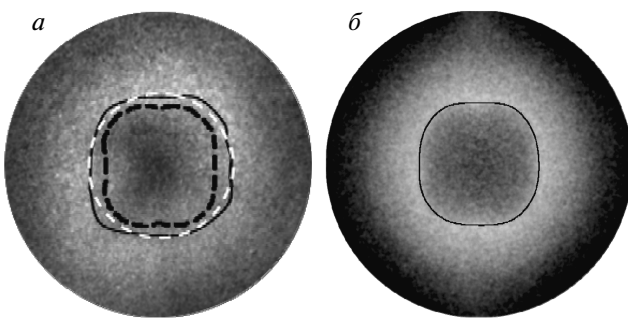


Рис. 16. Изображение полости со сжатымдейтерием для экспериментального устройства № 2 при давлении 5000 ГПа на момент «остановки»: а — оригинальная рентгенограмма (сплошная черная кривая — реальный экспериментальный профиль сжатой полости с газом; белые штрихи — эквивалентный радиус сжатой оболочки; черные штрихи — расчеты ЛЭГАК профиля сжатой полости с газом); б — расчетная рентгенограмма (сплошная кривая — результат трассировки)

лучения от времени. Значение радиуса, найденное по такой динамической рентгенограмме, согласуется с расчетным на момент максимального сжатия и составляет 0.65 см. Исходя из сказанного выше можно сделать вывод о том, что учет двумерных особенностей работы устройства № 2 также не позволяет количественно описать результаты эксперимента.

Рассчитанные распределения давления и плотности сжатогодейтерия в полости оболочки для нового экспериментального устройства № 3 приведены на рис. 17. Анализ полученных данных показал, что отличие экспериментально измеренной плотности плазмы сжатогодейтерия $\rho_{exp} = 4.5 \pm 0.7 \text{ г}/\text{см}^3$ от

рассчитанного среднего значения $\rho_{mean} \approx 5.0 \text{ г}/\text{см}^3$ составляет примерно 10 %.

Результаты экспериментальных исследований квазизэнтропической сжимаемости плазмыдейтерия в области давлений $P \approx 5000 \text{ ГПа}$ из настоящей работы, вместе с ранее полученными данными из работ [11–13], приведены в табл. 4 и на рис. 18. На этом же рисунке нанесены изэнтропы, рассчитанные по уравнениям состояниядейтерия из работ [35, 38]. При расчете изэнтроп использовали следующий подход. Рассчитывали ударныеадиабатыдейтерия, сжатого на основной ударной волне, в координатах $P-\rho$. Затем из состояний, достигнутых в экспериментах в момент максимального сжатия газа, строили изэнтропу до пересечения с соответствующей ударнойадиабатой, решая обратную задачу нахождения исходного состояния на ударнойадиабате. Таким образом, квазизэнтропическое сжатие газа аппроксимировали двумя процессами: ударно-волновым и изэнтропическим.

Рассчитанные ударныеадиабаты состояниядейтерия 1, 2 и 3, приведенные на рис. 18а, соответственно относятся к экспериментам из работ [11, 12] и настоящей, с различающимися конструкциями экспериментальных устройств и начальными параметрами газа (см. табл. 1). На том же рисунке нанесены изэнтропы, рассчитанные по модели из [38]. Как видно из рис. 18а, результаты из [11] и настоящей работы хорошо описываются энтропией $S/R = 16$, результат из [12] — энтропией $S/R = 18$. Отметим, что в эксперименте настоящей работы и в [12], т. е. на двух конструктивно различных сферических устройствах, но с одинаковой системой нагружения, получены практически одинаковые плотности плазмы сжатогодейтерия $\rho \approx 4 \text{ г}/\text{см}^3$. Все достигнутые

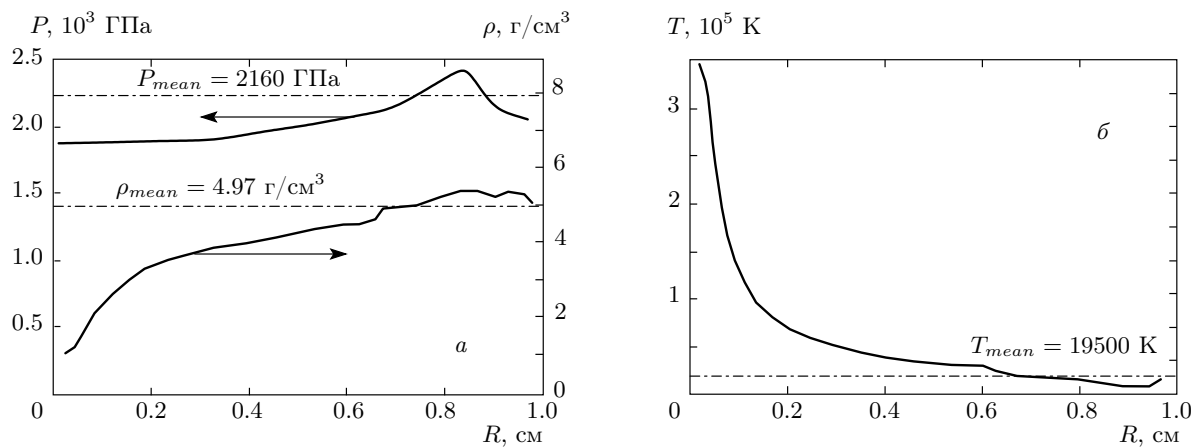


Рис. 17. То же, что на рис. 15, но для устройства № 3

Таблица 4. Результаты экспериментов по измерению сжимаемости газообразныхдейтерия и гелия из настоящей работы и из работ [11–13]. Расчеты выполнены в одномерном приближении

№ устройства	Газ	ρ_0 , $\text{г}/\text{см}^3$	R_{min} , мм	ρ_{exp} , $\text{г}/\text{см}^3$	P_{calc} , ГПа	ρ_{calc} , $\text{г}/\text{см}^3$	T_{calc} , 10^3 К
1 [12]	D ₂	0.020	9.1	4.3 ± 0.9	2210	4.6	22
1 [12]	He	0.025	10.0	3.8 ± 0.9	1580	3.4	74
2	D ₂	0.036	7.6	5.5 ± 0.7	5450 (5470)	7.8 (7.7)	24.5 (24.5)
2 [13]	He	0.038	6.6	8.4 ± 1.9	4750 (4760)	7.2 (7.1)	74 (74)
3	D ₂	0.037	9.8	4.5 ± 0.7	2160	5.0	19.5
3	He	0.039	10.3	4.0 ± 0.4	1950	4.5	59
4 [11]	D ₂	0.040	10.7	4.3 ± 0.7	1830	4.7	15

Примечание. В скобках приведены результаты двумерного расчета.

состояния описываются энтропией $S/R = 16\text{--}18$, что повышает уверенность в адекватности экспериментальных данных по сжимаемости дейтерия в области давлений $P \approx 2000$ ГПа.

Однако указанные выше изэнтропы не описывают данные по сжатию дейтерия при давлении $P \approx 5000$ ГПа. Удовлетворительное согласие с экспериментом достигается в расчете только при значении энтропии $S/R = 22$. Данное обстоятельство указывает на необходимость поиска новых теоретических соображений, возможно связанных с корректировкой уравнения состояния водорода в данной области давлений или с получением новых экспериментальных данных.

6.2. Гелий

$R(t)$ -диаграммы движения оболочек экспериментального устройства № 3 в опыте с гелием приведены выше на рис. 13. В расчетах для гелия использовалось уравнение состояния в табличной форме, разработанное на основе модифицированной модели сжимаемого коволюма [35, 39], в которой учитывали результаты расчетов термодинамических свойств жидкости, выполненные методом Монте-Карло, с обратным степенным потенциалом взаимодействия между частицами, $\varphi(r) = \varepsilon(\sigma/r)^n$ [40]. Для определения начальной плотности гелия использовали табличные данные из работы [41]. Как видно из рис. 13, эксперименты с гелием в пределах экспериментальной погрешности описываются существу-

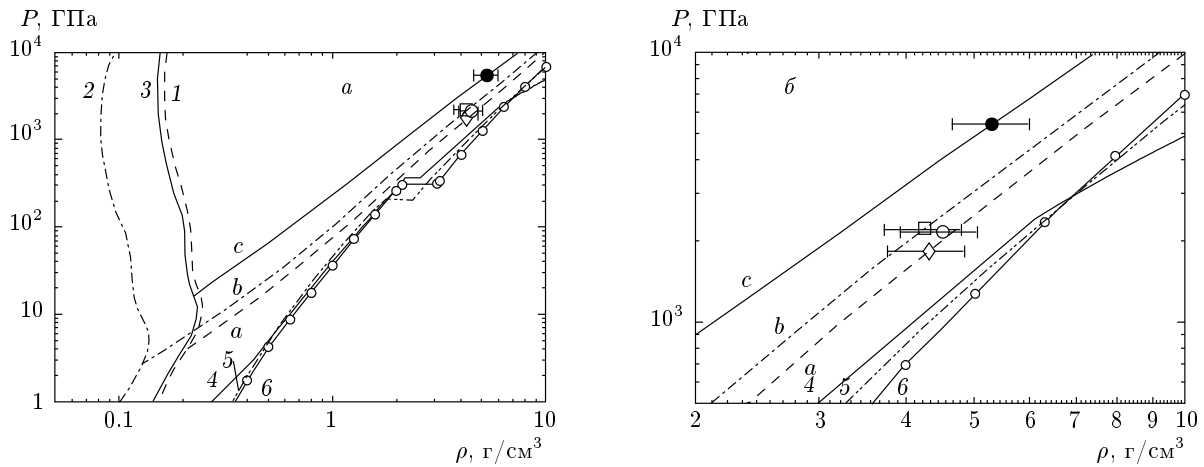


Рис. 18. Квазизэнтропическая сжимаемость газообразногодейтерия в области давлений до 5000 ГПа. Эксперимент: •, ○ — настоящая работа; ◇ — [11]; □ — [12]. Ударные адиабаты дейтерия (расчет): 1 и 2 — соответственно для экспериментов [11] и [12]; 3 — настоящая работа. Изотермы (расчет): 4 — $T = 300$ К [38]; 5 — $T = 0$ К [36]; 6 — $T = 0$ К [35]. Изэнтропы (расчет по модели [38]): a — $S/R = 16$; b — $S/R = 18$; c — $S/R = 22$. б) P - ρ -диаграмма в увеличенном масштабе (S — энтропия, R — универсальная газовая постоянная)

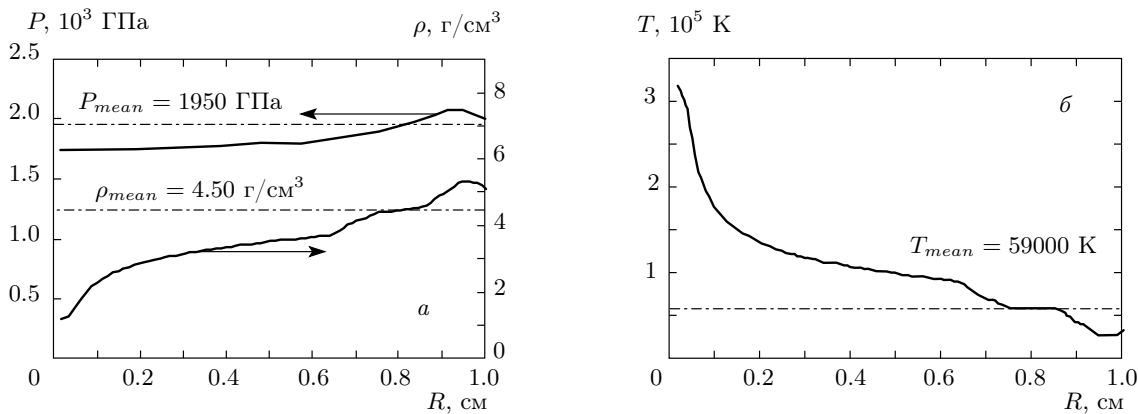


Рис. 19. Рассчитанные распределения давления, плотности (а) и температуры (б) по радиусу R сжатого гелия на момент максимального сжатия газа в устройстве № 3

ющим во ВНИИЭФ уравнением состояния Хрустальева для гелия.

Рассчитанные распределения давления, плотности и температуры в гелии на момент максимального сжатия в устройстве № 3 приведены на рис. 19. Средневзвешенное давление гелия в этом эксперименте составляет величину $P_{mean} = 1950$ ГПа, температура — $T_{mean} = 59000$ К. Экспериментально измеренная величина плотности $\rho_{mean} = 4.0 \pm 0.4$ г/см³ согласуется с рассчитанным значением $\rho_{mean} = 4.5$ г/см³ в пределах 11 %. Экспериментальные результаты по квазизэнтропической сжимаемости газообразного гелия из работ [8, 12, 13] и настоящей приведены на рис. 20. Видно, что экспериментальные данные хорошо описываются изэнтропами,

рассчитанными как по уравнению состояния ВНИИЭФ, так и по модели Saha-He [33, 42]. Тактика расчета изэнтроп, приведенных на рис. 20, подробно изложена в работе [8].

Экспериментальные и рассчитанные данные по квазизэнтропической сжимаемости гелия в области давлений выше 1500 ГПа из настоящей работы и из работ [11–13] обобщены в табл. 4.

7. ЗАКЛЮЧЕНИЕ

В экспериментах на устройствах сферической геометрии с использованием рентгенографического комплекса, состоящего из трех бетатронов и многоканальной оптико-электронной системы регистра-

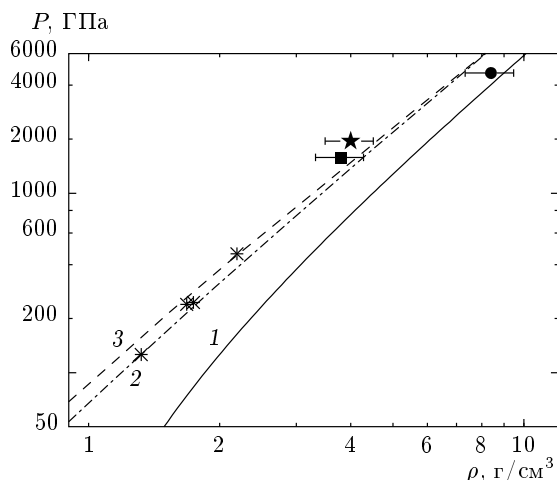


Рис. 20. Квазизэнтропическая сжимаемость газообразного гелия в области давлений до 5000 ГПа. Эксперимент: ★ — настоящая работа; * — [8], ■ [12], ● — [13]. Расчет: 1 — изотерма $T = 0$; 2 — изэнтропа (уравнение состояния ВНИИЭФ) [8]; 3 — изэнтропа (модель Saha–He) [8, 33]

ции рентгеновских изображений существенно расширен диапазон измерений квазизэнтропической сжимаемости газообразныхдейтерия и гелия.

В конструкциях экспериментальных устройств № 2 и № 3, использованных в настоящей работе, устранено соударение оболочек в процессе сжатия и реализовано более «мягкое» изэнтропическое сжатие газа по сравнению со сжатием плазмыдейтерия и гелия в экспериментах из работ [11, 12].

Измерена сжимаемость газообразного гелия в области плотностей 4–8 г/см³ при давлениях 1500–5000 ГПа. Достигнут рекордный параметр сжатия плазмы гелия $\sigma = \rho/\rho_0 \approx 200$. Анализ полученных данных показывает, что в пределах экспериментальной погрешности результаты экспериментов с гелием описываются существующим во ВНИИЭФ уравнением состояния гелия.

Измерены плотности квазизэнтропически сжатогодейтерия в диапазоне 3.8–5.4 г/см³ в области давлений 1800–5400 ГПа. При давлениях сжатогодейтерия $P \approx 1800$ –2000 ГПа экспериментальные данные, полученные с использованием различных сферических конструкций, соглашаются друг с другом и с результатами одномерных газодинамических расчетов. Обнаружено, что при давлении $P \approx 5400$ ГПа в момент максимального сжатия отклонение экспериментальной $R(t)$ -траектории от расчетной составляет 12.6 % по радиусу при использовании в расчетах уравнения состояниядейтерия ВНИИЭФ. Нет согласия результатов эксперимен-

тов и с расчетной зависимостью при использовании уравнения состояниядейтерия из библиотеки SESAME.

Данное обстоятельство, по-видимому, требует проведения дополнительного теоретического анализа полученных результатов и новых экспериментальных исследований сжимаемостидейтерия в данной области давлений, в том числе с использованием экспериментальных устройств иного типа и (или) при более высоких давлениях сжатия. Для повышения точности экспериментальных данных необходимо уменьшение несферичности схождения оболочек при высоких степенях сжатия, что потребует разработки новых нагружающих устройств с минимальным разбросом в системе инициирования ВВ.

В заключение авторы выражают благодарность В. В. Хрусталеву за возможность использовать в расчетах разработанное им уравнение состояния гелия, за полезные обсуждения и замечания по существу выполненной работы, Т. В. Семеновой за любезно предоставленную расчетную рентгенограмму, а также сотрудникам, принимавшим участие в организации, проведении экспериментов и обработке полученных данных: А. И. Лебедеву, А. В. Белову, С. Е. Елфимову, Р. В. Борисову, О. А. Есину, В. Ю. Пешехолько, Ю. В. Ледневу, В. Д. Орлову, А. В. Романову, С. Ю. Согрину, Д. П. Турутину, В. И. Скокову, А. Н. Малышеву, Д. Н. Замотаеву.

Настоящая работа выполнена при поддержке Программы Президиума РАН «Теплофизика и механика экстремальных энергетических воздействий и физика сильносжатого вещества» и РФФИ (грант № 13-02-00396).

ЛИТЕРАТУРА

1. В. Е. Фортов, *Физика высоких плотностей энергии*, Физматлит, Москва (2012).
2. V. E. Fortov, *Extreme States of Matter*, Springer (2010).
3. N. W. Ashcroft, in *High Pressure Phenomena*, ed. by R. Y. Hemley et al., IOS Press, Amsterdam (2002), p. 151.
4. Ф. В. Григорьев, С. Б. Кормер, О. Л. Михайлова и др., Письма в ЖЭТФ **16**, 286 (1972).
5. Ф. В. Григорьев, С. Б. Кормер, О. Л. Михайлова и др., ЖЭТФ **75**, 1683 (1978).
6. В. П. Копышев, В. Д. Урлин, в сб. *Ударные волны и экстремальные состояния вещества*, под ред.

- В. Е. Фортова, Л. В. Альтшулера, Р. Ф. Трунина, А. И. Фунтикова, Наука, Москва (2000).
7. V. E. Fortov, R. I. Ilkaev, V. A. Arinin et al., Phys. Rev. Lett. **99**, 185001 (2007).
 8. М. В. Жерноклетов, В. К. Грязнов, В. А. Аринин и др., Письма в ЖЭТФ **96**, 479 (2012).
 9. G. V. Boriskov, A. I. Bykov, R. I. Ilkaev et al., Phys. Rev. B **71**, 092104 (2005).
 10. Г. В. Борисков, А. И. Быков, Н. И. Егоров и др., в сб. XI Харитоновские научные чтения, под ред. А. Л. Михайлова, РФЯЦ-ВНИИЭФ, Саров (2009), с. 771.
 11. М. А. Мочалов, Р. И. Илькаев, В. Е. Фортов и др., Письма в ЖЭТФ **92**, 336 (2010).
 12. М. А. Мочалов, Р. И. Илькаев, В. Е. Фортов и др., ЖЭТФ **142**, 696 (2012).
 13. М. А. Мочалов, Р. И. Илькаев, В. Е. Фортов и др., Письма в ЖЭТФ **96**, 172 (2012).
 14. O. T. Strand, D. R. Goosman, C. Martinez et al., Rev. Sci. Instrum. **77**, 083108 (2006).
 15. Yu. P. Kuropatkin, V. D. Mironenko, V. N. Suvorov et al., in 11th IEEE Pulsed Power Conf., Digest of Technical Papers, ed. by G. Cooperstein and I. Vikovitsky (1997), p. 1669.
 16. В. А. Огородников, А. Л. Михайлов, В. В. Бурцев и др., ЖЭТФ **136**, 615 (2009).
 17. A. N. Golubkov, A. A. Kononenko, and A. A. Yukhimchuk, Fusion Sci. and Technol. **48**, 527 (2005).
 18. Н. Ф. Гаврилов, Г. Г. Иванова, В. И. Селин и др., ВАНТ, сер. Методики и программы численного решения задач математической физики, вып. 3 (1982), с. 11.
 19. О. А. Клещевников, Ю. Н. Тюняев, В. Н. Софонов и др., Физика горения и взрыва **22**, 102 (1986).
 20. A. Michels, W. de Graff, T. Wassenaar et al., Physica **25**, 25 (1959).
 21. В. А. Аринин, Цифровая обработка сигналов **8**(2), 52 (2006).
 22. G. I. Taylor, Proc. Roy. Soc. London **201**, 1065 (1950).
 23. А. Г. Иванов, В. А. Огородников, Г. Я. Карпенко и др., ПМТФ **35**, 163 (1994).
 24. В. Н. Зубарев, А. А. Евстигнеев, Физика горения и взрыва **20**, 114 (1984).
 25. J. M. Brown, J. N. Fritz, and R. S. Hixson, J. Appl. Phys. **88**, 5496 (2000).
 26. B. J. Jensen, G. T. Gray III, and R. S. Hixson, J. Appl. Phys. **105**, 103502 (2009).
 27. LASL Shock Hugoniot Data, ed. by S. P. Marsh, Univ. of California Press, Berkley–Los Angeles–London (1980).
 28. Р. Ф. Трунин, Л. Ф. Гударенко, М. В. Жерноклетов, Г. В. Симаков, Экспериментальные данные по ударно-волновому сжатию и адиабатическому расширению конденсированных веществ, под ред. Р. Ф. Трунина, РФЯЦ-ВНИИЭФ, Саров (2006).
 29. Б. Л. Глушак, Л. Ф. Гударенко, Ю. М. Стяжкин, В. А. Жеребцов, Вопросы атомной науки и техники, сер. Математическое моделирование физических процессов, вып. 1 (1991), с. 32.
 30. SESAME: Los Alamos National Laboratory Equation of State Database, ed. by S. P. Lyon and J. D. Johnson, Group T-1, Los Alamos National Laboratory Document LA-UR-92-3407 (1992), p. 1.
 31. Б. А. Надыкто, А. И. Ломайкин, И. Н. Павлуша, М. О. Ширшова, ВАНТ, сер. Теоретическая и прикладная физика, вып. 2 (2012), с. 43.
 32. Б. Л. Глушак, Л. Ф. Гударенко, Ю. М. Стяжкин, ВАНТ, сер. Матем. моделирование физических процессов, вып. 2, 57 (1991), с. 57.
 33. В. Е. Фортов, Уравнения состояния вещества от идеального газа до кварк-глюонной плазмы, Физматлит, Москва (2012).
 34. Б. Л. Глушак, О. Н. Игнатова, ВАНТ, сер. Матем. моделирование физических процессов, вып. 2 (1998), с. 45.
 35. В. П. Копышев, В. В. Хрусталев, ПМТФ **21**, 122 (1980).
 36. G. Kerley, Equation of State for Hydrogen and Deuterium, Sandia National Laboratory Report SAND2003-3613 (2003).
 37. С. М. Бахрах, С. В. Величко, В. Ф. Спиридонов и др. ВАНТ, сер. Матем. моделирование физических процессов, вып. 4 (2004), с. 1.
 38. В. Д. Урлин, Уравнения состояния и фазовые диаграммы изотопов водорода, Препринт № 109-2011, РФЯЦ-ВНИИЭФ, Саров (2011).
 39. В. П. Копышев, ПМТФ **12**, 103 (1971).
 40. W. G. Hoover, S. G. Gray, and K. W. Johnson, J. Chem. Phys. **55**, 1128 (1971).
 41. Н. Б. Варгафтик, Справочник по теплофизическим свойствам газов и жидкостей, Наука, Москва (1972).
 42. V. K. Gryaznov, I. L. Iosilevskiy, and V. E. Fortov, <http://www.ihed.ras.ru/npp2011/pres/gryaznov.pdf>.